

I1) a) Rayon gaine  $\approx 1 \text{ mm}$   
 Vitesse de chute  $\approx 1 \text{ m s}^{-1}$  (ça dépend de la force de la plaque)

I1) b)  $R_0 = \frac{\rho_a v_a}{\lambda_a}$  ← viscosité dynamique de l'eau

$R_0 \approx \frac{1,2 \times 10^{-3}}{1,85 \cdot 10^{-2}} \approx 100 \gg 1$

Le régime est turbulent

I1) c) Forces: Poids, Archimède négligeable car  $\rho_a \approx 10^{-3} \rho_e$ , et viscosité

Je suis étonnée qu'on exige la formule de  $F_{\text{viscosité}}$  avec  $C_x$ . Je sais seulement qu'elle est proportionnelle à  $v^2$  et à  $r^2$  et à  $\rho_a$  ce qu'on peut écrire  $\vec{F}_{\text{viscosité}} = -\alpha C_x r^2 \rho_a v^2 \vec{e}_x$  ou traînée

qui est homogène à une force

Une recherche donne  $\vec{F}_{\text{traînée}} = -0,5 C_x \pi r^2 \rho_a v^2 \vec{e}_x$

Poids  $\vec{P} = \rho_e \frac{4}{3} \pi r^3 g \vec{e}_x$

Archimède  $\vec{\Pi} = -\rho_a \frac{4}{3} \pi r^3 g \vec{e}_x$

I1) d) avec  $m = \rho_e \frac{4}{3} \pi r^3$ , le PFD donne

$m \frac{dv}{dt} = mg - \frac{m \rho_a g}{\rho_e} - 0,5 C_x \pi r^2 \rho_a v^2$

soit  $\frac{v}{g} = 1 - \frac{\rho_a}{\rho_e} - \frac{0,5 C_x \pi r^2 \rho_a}{\frac{4}{3} \pi r^3 \rho_e g} v^2$

Comme  $\rho_a \approx 10^{-3} \rho_e$  on peut dire  $\frac{\rho_a}{\rho_e} \ll 1$

l'oi  $\frac{v}{g} \approx 1 - \frac{v^2}{\frac{8r}{3 C_x} \frac{\rho_e g}{\rho_a}} = 1 - \frac{v^2}{u^2}$

avec  $u = \sqrt{\frac{8r}{3 C_x} \frac{\rho_e g}{\rho_a}}$

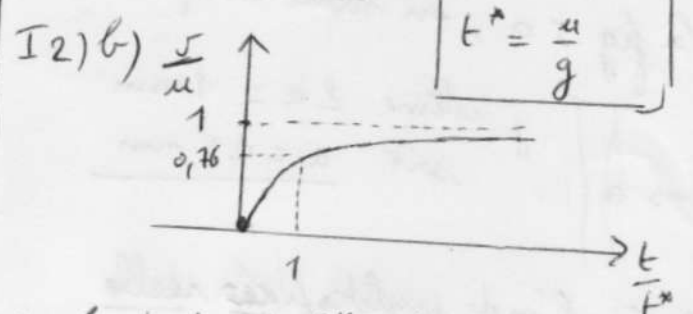
q: quand  $\dot{v} = 0$  on a  $v = u$   
 $u$  est la vitesse limite atteinte

I2) a) Séparer les variables (équation non linéaire)

$\int_0^v \frac{dv}{1 - (\frac{v}{u})^2} = \int_0^t g dt$

$u \text{ Argh}(\frac{v}{u}) = gt$  (cte nulle)

$v = u \text{ th}(\frac{gt}{u})$  ou  $\frac{v}{u} = \text{th}(\frac{t}{t^*})$   
 $t^* = \frac{u}{g}$



Au bout de  $t = t^*$ , la vitesse a atteint les  $\frac{3}{4}$  de sa valeur limite.

I2) c) En prenant tout de suite la valeur limite, on peut construire une distance caractéristique  $H^* = u t^*$  qui est largement plus que le chemin parcouru jusqu'à  $t^*$

I2) d)  $u = \sqrt{\frac{8 \cdot 10^{-3} \cdot 998 \cdot 9,81}{3 \cdot 0,4 \cdot 1,20}} = 7 \text{ m s}^{-1}$   
 (dépendant du rayon  $r$  choisi, ici  $10^{-3} \text{ m}$ )

$H^* = u t^* = \frac{u^2}{g} \approx 5 \text{ m}$

u : vitesse limite

I3)a)

$$I = \frac{h'}{\Delta t} \text{ par section } \Delta S = 1 \text{ m}^2$$

Les gouttes tombées pendant  $\Delta t$  occupent le volume  $\Delta S u \Delta t$

Il y en avait donc  $N_0 \Delta S u \Delta t$

Cela donne un volume en eau de  $\frac{4}{3} \pi r_0^3 \cdot N_0 \Delta S u \Delta t$

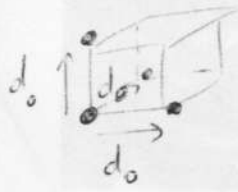
$$D'où  $\frac{h'}{\Delta t} \Delta S = \frac{4}{3} \pi r_0^3 N_0 \Delta S u \Delta t$$$

$$\text{Ainsi } \boxed{I = \frac{h'}{\Delta t} = \frac{4}{3} \pi r_0^3 N_0 u}$$

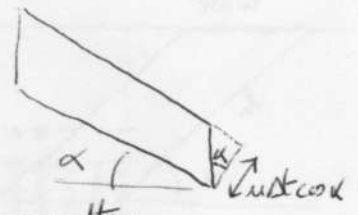
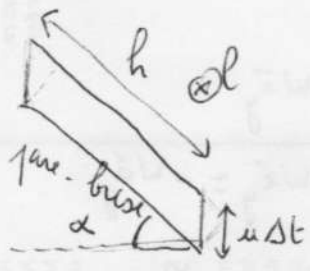
b) AN  $N_0 = \frac{3 I}{4 r_0^3 u} = \frac{3 \cdot 300 \cdot 10^{-3}}{4 \cdot 3600 \cdot 0,5^3 \cdot 10^{-9} \cdot 7} = 7 \cdot 10^4 \text{ gouttes/m}^3$   
← dépend de la valeur de u ici prise à 7 ms<sup>-1</sup>

c)  $N_0 = \frac{1}{d_0^3}$  car dans un cube de côté  $d_0$ , on peut compter 1 goutte

$$d_0 \approx 2 \text{ cm}$$



I4)a)



I4)b)

$$\Delta \vec{p}_1 = 0 - m u \vec{e}_x \quad m : \text{masse d'1 goutte}$$

Pendant  $\Delta t$  viennent se coller au pare-brise  $N_0 h l u \Delta t$  gouttes

$$\text{donc } \Delta \vec{p} = - N_0 h l u \Delta t m u \cos \alpha \vec{e}_x$$

$$\text{d'où } \vec{F}_{\text{pare-brise sur gouttes}} = \frac{\Delta \vec{p}}{\Delta t} = - N_0 h l u^2 m \cos \alpha \vec{e}_x$$

$$\text{d'où } \vec{F}_{\text{gouttes sur pare-brise}} = \text{l'opposé} = N_0 h l u^2 m \cos \alpha \vec{e}_x$$

$$\text{La masse d'1 goutte } m = \rho_e \frac{4}{3} \pi r_0^3$$

$$\text{d'où } \boxed{\vec{F}_{\text{gouttes sur pare-brise}} = N_0 h l u^2 \rho_e \frac{4}{3} \pi r_0^3 \cos \alpha \vec{e}_x = k \cos \alpha S \rho_e u^2 \vec{e}_x}$$

$$\text{d'où } \boxed{k = N_0 \frac{4}{3} \pi r_0^3} \quad \text{sans dimension} \quad S = h l$$

I4)c)

AN  $F_0 = 7 \cdot 10^4 \cdot \frac{4}{3} \pi \cdot 0,5^3 \cdot 10^{-9} \cos 45^\circ \cdot 0,5 \times 1 \cdot 988 \cdot 7^2 = 0,6 \text{ N}$

dépend de u ici à 7 ms<sup>-1</sup>  
de  $N_0 \propto \frac{1}{u}$   
donc  $F_0 \propto u$

I5) a)  $W \sim 10^3 \text{ km/h}$  (un peu moins peut-être)  
Vol Paris Nice  $\sim 1 \text{ h}$

I5) b) On remarque que  $W \gg u$

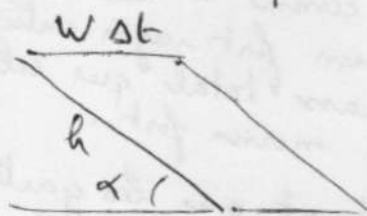
De ref' de l'avion, les gouttes tombent à  $\vec{u}'$  (vitesse relative)

De ref' fixe, elles tombent à  $u \vec{e}_x$  (vitesse absolue)

$W \vec{e}_y$  est la vitesse d'entraînement

$$\text{donc } u \vec{e}_x = \vec{u}' + W \vec{e}_y \quad \text{soit } \vec{u}' = u \vec{e}_x - W \vec{e}_y \approx -W \vec{e}_y$$

Tout se passe, de la ref' de l'avion, comme si les gouttes arrivaient quasi horizontalement (selon  $\vec{e}_y$ )



I5) c) Variation de quantité de mouvement d'1 goutte:  $\Delta \vec{p}_i = \vec{0} - m \vec{u}'$

Nombre de gouttes interceptées pendant  $\Delta t$ :  $N_0 W \Delta t h \sin \alpha$

Variation de quantité de mouvement totale:  $\Delta \vec{p} = -N_0 W \Delta t h \sin \alpha \rho m \vec{u}'$

Avec  $\vec{u}' \approx -W \vec{e}_y$  cela fait approximativement  $\Delta \vec{p} = N_0 W^2 \Delta t h \sin \alpha \rho m \vec{e}_y$

PFD:  $\frac{\Delta \vec{p}_{\text{gouttes}}}{\Delta t} = \vec{F}_{\text{paroi} \rightarrow \text{gouttes}} = N_0 W^2 h \sin \alpha \rho m \vec{e}_y$

Principe des interactions:  $\boxed{\vec{F}_{\text{gouttes} \rightarrow \text{paroi}} = -\vec{F}_{\text{paroi} \rightarrow \text{gouttes}} = -N_0 W^2 h \sin \alpha \rho m \vec{e}_y}$

I5) d)  $\|\vec{F}_{\text{gouttes} \rightarrow \text{paroi}}\| = N_0 W^2 h \sin \alpha \rho \frac{4\pi r_0^3}{3}$

$$F_{\text{gouttes} \rightarrow \text{paroi}} = 7 \cdot 10^4 \cdot \frac{10^{6 \times 2}}{(3600)^2} \cdot 0,5 \sin 45^\circ \cdot 1 \cdot 988 \cdot \frac{4\pi}{3} \cdot 0,5^3 \cdot 10^{-9} \approx 10^3 \text{ N}$$

(dépend de la valeur de  $N_0$  donc de  $u$ )  
 $F_{\text{gouttes}} \propto u$  ici  $7 \text{ ms}^{-1}$

$$I6) a) dN = n_0 e^{-\frac{r}{\lambda}} dr$$

$$N_0 = \int dN = n_0 \int_0^{\infty} e^{-\frac{r}{\lambda}} dr$$

$$N_0 = -\lambda n_0 \left[ e^{-\frac{r}{\lambda}} \right]_0^{\infty} = \lambda n_0 \quad \boxed{N_0 = \lambda n_0}$$

$$I6) b) P(r \leq \lambda) = \frac{N(r \leq \lambda)}{N_0} = \frac{n_0 \int_0^{\lambda} e^{-\frac{r}{\lambda}} dr}{\lambda n_0}$$

$$\boxed{P(r \leq \lambda) = 1 - e^{-1} = 0,63}$$

$$\boxed{P(r \geq \lambda) = e^{-1} = 0,37}$$

(la somme est égale à 1)

La répartition est la suivante :

environ $\frac{2}{3}$	de gouttes de rayon $\leq \lambda$
$\frac{1}{3}$	$\geq \lambda$

$$I6) c) \langle r \rangle = \int_0^{\infty} r \frac{dN}{N_0} = \int_0^{\infty} \frac{r}{\lambda} e^{-\frac{r}{\lambda}} dr$$

lire notation et données  $\int_0^{\infty} x e^{-x} dx = 1$

$$\text{donc } \int_0^{\infty} r e^{-\frac{r}{\lambda}} dr = \lambda^2 \quad (\text{après chang. de variable})$$

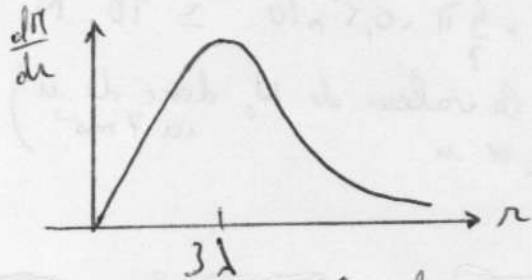
$$\text{d'où } \boxed{\langle r \rangle = \lambda}$$

$d\pi$  représente la masse des gouttes dont le rayon est entre  $r$  et  $r+dr$ .  $d\pi$  occupe l'unité de volume  $d\pi \sim$  masse/volume

$$I7) b) \mu(r) = \rho e \frac{4}{3} \pi r^3 n(r) = \rho e \frac{4}{3} \pi r^3 e^{-\frac{r}{\lambda}} n_0$$

$$\frac{d}{dr} (r^3 e^{-\frac{r}{\lambda}}) = \left( 3r^2 - \frac{r^3}{\lambda} \right) e^{-\frac{r}{\lambda}}$$

annulation en  $r = 3\lambda$



I7) c)  $r = 3\lambda$  pour lequel  $\mu(r)$  est max.

$$I7) d) \langle m \rangle = \frac{\int_0^{\infty} d\pi}{N_0} \leftarrow \text{masse de toutes les gouttes (tout rayon) occupant l'unité de volume}$$

$$\int_0^{\infty} r^3 e^{-\frac{r}{\lambda}} dr = 6\lambda^4 \quad (\text{en posant } x = \frac{r}{\lambda})$$

$$\langle m \rangle = \frac{1}{N_0} \int_0^{\infty} \rho e \frac{4}{3} \pi r^3 n_0 e^{-\frac{r}{\lambda}} dr = \rho e \frac{4}{3} \pi n_0 6\lambda^4 = 8 \rho e \pi \lambda^3 \quad (9)$$

$$\boxed{\langle m \rangle = 8 \pi \rho e \lambda^3} \quad \text{homogène à une masse}$$

I7) e) La masse d'une goutte de rayon moyen  $\langle r \rangle$  serait  $\rho e \frac{4}{3} \pi \langle r \rangle^3$

$$\text{or } \langle r \rangle = \lambda \quad (I6c) \quad \text{d'où } \boxed{\text{la masse d'une goutte } \langle r \rangle = \frac{4}{3} \pi \rho e \lambda^3}$$

Ce qui est inférieur à la masse moyenne des gouttes. Cela doit provenir du fait que la masse d'une sphère varie comme le cube du rayon. Les gouttes ayant un fort rayon contribuent davantage à la masse totale que celles qui ont un rayon moins fort.

I8) a) Si on admet que les gouttes agissent avec  $\vec{F} = -Q N_0 \lambda_0^3 \vec{e}_y$  alors qu'elles ont toutes le même rayon  $\lambda_0$  et qu'il y en a  $N_0$  par unité de volume, alors on peut penser que de façon similaire, la force exercée par les gouttes dont le rayon est entre  $r$  et  $r+dr$  en nombre  $dN$  par unité de volume est  $d\vec{F} = -Q dN r^3 \vec{e}_y$

et que la force par toutes les gouttes de tout rayon sera

$$\vec{F}_D = \int_0^{\infty} d\vec{F} = \int_0^{\infty} -Q n_0 e^{-\frac{r}{\lambda}} dr r^3 \vec{e}_y$$

$$\text{or } \int_0^{\infty} r^3 e^{-\frac{r}{\lambda}} dr = 6\lambda^4 \quad (\text{cf I7d})$$

$$\text{d'où } \vec{F}_D = -Q n_0 6\lambda^4 \vec{e}_y$$

$$\text{Mais } N_0 = \lambda n_0 \quad (\text{cf I6a})$$

$$\text{donc } \boxed{\vec{F}_D = -Q N_0 6\lambda^3 \vec{e}_y}$$

$$I8) b) \varphi = \left| \frac{F_D}{F} \right| = \frac{6\lambda^3}{\lambda_0^3}$$

Si  $\langle r \rangle = \lambda_0$  alors  $\lambda_0 = \lambda$  (cf I6c)

$$\varphi = 6$$

I 8c) Prendre en compte la distribution du rayon des gouttes a donné une force 6 fois + grande :

$$F_D = 6 \cdot 10^3 \text{ N (cf I 5 d)}$$

La surface du pare-brus  $hl = 0,5 \text{ m}^2$  conduit donc à une pression  $f = 10^4 \text{ Pa}$   
 $(f = \frac{F_D}{S_P})$

L'effet mécanique de la pluie est donc le  $1/10^{\text{em}}$  de la pression dans l'habitacle.

I 9a) La loi de Marshall-Palmer

$$dN = n_0 e^{-\frac{r}{\lambda}} dr \text{ montre que}$$

$$\ln\left(\frac{dN}{dr}\right) = \ln n_0 - \frac{r}{\lambda} \text{ est une}$$

droite décroissante. La figure le montre à condition que les gouttes aient un rayon  $> 1 \text{ mm}$ .

I 9b) Le faible régime correspond à la courbe (e)

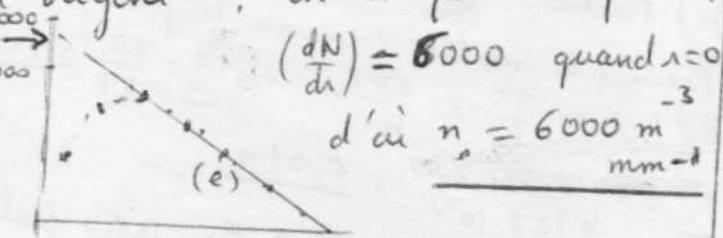
On mesure la pente  $\frac{\log 100 - \log(0,001)}{\lambda - 8}$

$$\text{soit } \frac{2+3}{-6} = -\frac{5}{6}$$

Comme  $\log = \frac{\ln}{\ln 10}$ ,  $-\frac{1}{\lambda} = \ln 10 \left(-\frac{5}{6}\right)$

d'où  $\lambda = 0,5 \text{ mm}$

on obtient  $n_0$  par l'ordonnée à l'origine ; on lit par extrapolation



g)  $\langle r \rangle = \lambda = 0,5 \text{ mm}$

$$N_0 = \lambda n_0 = 0,5 \times 6000 = 300 \text{ m}^{-3}$$

avait trouvé en I 3 b)  $7 \cdot 10^4 \text{ m}^{-3}$

est par la courbe (e) une petite précipitation

I 9d) Le calcul de la pente repose sur un ensemble de points assez bien alignés, donc, comme il est lié à  $\lambda$ , on doit obtenir une assez bonne valeur de  $\lambda$  donc des rayons moyens  $\langle r \rangle$ .

L'ordonnée à l'origine avec échelle log est plus aléatoire comme lecture

On peut commettre facilement une erreur d'un facteur presque 5.

Enfin  $F \propto N_0 \lambda^3$  dépend surtout de  $\lambda$

En résumé  $f$  dirais dans l'ordre

$\langle r \rangle$ (= $\lambda$ )	F	$N_0$	écart de → la loi aux relevés météo

10 a)  $E_0 = \gamma S = \gamma 2\pi R_0 L$   
 ( $R_0 \ll L \Rightarrow$  on néglige l'énergie des 2 bases du cylindre)

10 b)  $E_N = \gamma N 4\pi r^2$

10 c) Le chapelet est plus stable si  $E_N < E_0$   
 soit  $2Nr^2 < R_0 L$

Le volume de l'eau étant conservé  
 $\pi R_0^2 L = N \frac{4}{3} \pi r^3$  d'où  $N = \frac{3 R_0^2 L}{4 r^3}$

La condition du chapelet stable devient:  
 $3 \frac{R_0^2 L}{4 r^3} < R_0 L$  soit  $r > \frac{3}{4} R_0$

Il faut des gouttes assez grosses (il y en aura -)

11 a) Ecrivons que le volume se conserve

$\pi R_0^2 L = \int_0^L \pi R^2 dx$

$R_0^2 L = \int_0^L (R_0^2 + 2a(R_0) \sin kx + a^2 \sin^2 kx) dx$

$R_0^2 L = (R_0^2) L + 2a(R_0) \left[ \frac{-\cos kx}{k} \right]_0^L + a^2 \int_0^L \frac{1 - \cos 2kx}{2} dx$

$R_0^2 L = (R_0^2) L + \frac{2a(R_0)}{k} (-\cos kL + 1) + a^2 \left( \frac{L}{2} - \left[ \frac{\sin 2kx}{4k} \right]_0^L \right)$

$R_0^2 L = (R_0^2) L + 0 + \frac{a^2 L}{2} - 0$

si  $kL \gg 1$   
 alors  $\lambda \ll L$  donc on a un certain nb de  $\lambda$  sur  $L$

d'où  $\langle R \rangle^2 = R_0^2 - \frac{a^2}{2}$

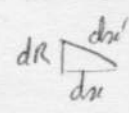
avec  $\frac{a}{R_0} \ll 1$  :  $\langle R \rangle \approx R_0 \left( 1 - \frac{a^2}{4R_0^2} \right)$

11 b) Calcul indépendant du résultat précédent; se montrerait à partir de

$dS = 2\pi R(dx')$

$dx' \neq dx$

$dx' = \sqrt{dx^2 + dR^2}$



peu d'intérêt dans ce calcul

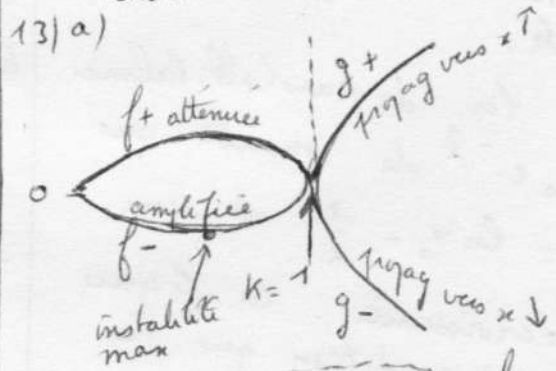
c)  $R_0 \quad S_2(a) < S_2(0)$  si  $kR_0 < 1$  c'ad  $\lambda > 2\pi R_0$

La forme  $\sim \cos(kx)$  est plus stable en énergie si  $\lambda > 2\pi R_0$

12 a)  $\omega$  réel pour  $\omega^2 > 0$  c'ad  $kR_0 > 1$

$\omega$  réel pour  $\lambda < 2\pi R_0$

12 b) si  $\omega$  réel alors la perturbation se propage telle une onde progressive. si  $\omega$  imaginaire alors la perturbation ne se propage plus; elle peut être atténuée ou amplifiée (selon le signe donné à la racine) dans le temps



Si on pose  $K = kR_0$  alors  $\omega^2 = A^2(K^2 - 1)$   
 $\omega = \pm A \sqrt{K^2 - 1}$  si  $K > 1 \Rightarrow$  propagation  
 $\omega = \pm A \sqrt{1 - K^2}$  si  $K < 1 \Rightarrow$  amplifiée (-) atténuée (+)

13 b) L'instabilité est la plus grande par l'extrémum de  $f_-$  ; on lit  $K_c = 0,7$

$\tau_c = \frac{1}{\omega_c} = \frac{1}{\Omega_0 K_c \sqrt{K_c^2 - 1}} = \frac{1}{\Omega_0 0,7 \sqrt{1 - 0,49}} \approx \frac{2}{\Omega_0}$

$\tau_c = \frac{2}{\Omega_0} = \frac{2 \sqrt{\frac{2\rho_0 R_0^3}{\gamma}}}{\Omega_0}$

13 c) Noteur : la tension superficielle qui frein, l'inertie (comme toujours)

13 d)  $\lambda = \frac{2\pi}{k} = \frac{2\pi R_0}{k} \Rightarrow \frac{\lambda}{c} = \frac{2\pi \cdot 1}{0,7} \approx 1 \text{ cm}$

$\tau_c = \frac{2 \sqrt{2 \cdot 988 \cdot 10^{-3}}}{72,8 \cdot 10^{-3}} = 0,01 \text{ s}$

13 e)  $v_\varphi = \frac{\omega}{k} = \frac{R_0 g + R_0}{K} = \Omega_0 R_0 \times \text{pente}$

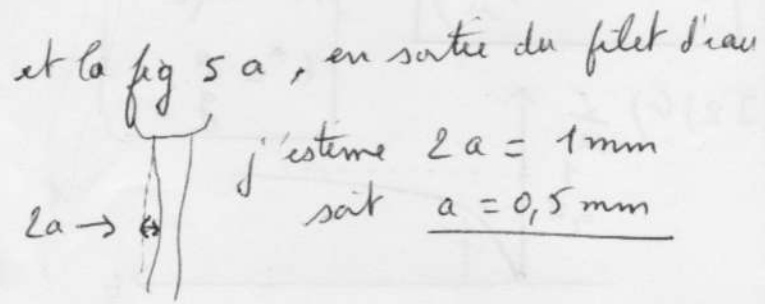
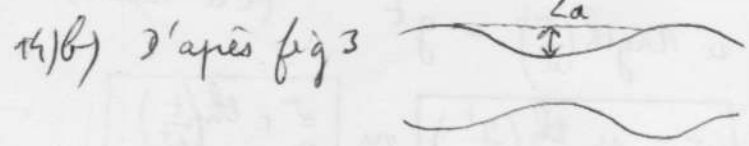
$v_\varphi = \frac{2 \cdot 10^{-3} \cdot 9,8}{0,7} = 0,65 \text{ ms}^{-1}$

Pour  $K^2 \gg 1$   $v_\varphi \approx \frac{\Omega_0 k R_0 \cdot k R_0}{k} = \Omega_0 k R_0^2$

II C14/a)  $Q = \rho_e \pi R_0^2 U_0$

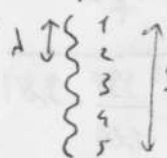
d'où  $U_0 = \frac{Q}{\rho_e \pi R_0^2}$   $U_0 = \frac{2 \cdot 10^{-3}}{998 \pi 10^{-6}}$

$U_0 = 0,6 \text{ ms}^{-1}$



15/a) Si onde, alors réelle

15/b) Apparence figée / labo c'est que  $v_\varphi = -U_0$  (comme un voyageur qui remonte le sens du tapis roulant)

15/c) Je crois observer 5 petits points blancs (correspondant à des creux) sur 5 mm  d'où  $\lambda = 1 \text{ mm}$  (ça me paraît surestimé qd-m)

d'où  $k = \frac{2\pi}{\lambda} = 2\pi \cdot 10^3 \text{ m}^{-1}$

et  $kr_0 = \frac{2\pi R_0}{\lambda} = 2\pi \approx 6$

15/d)  $v_\varphi = \Omega_0 k R_0^2$  d'après 13)e)

$v_\varphi = \sqrt{\frac{\gamma}{2\rho_e R_0^3}} k R_0 \cdot R_0 = \sqrt{\frac{748 \cdot 10^{-3}}{2 \cdot 998 \cdot 10^{-9}}} 6 \cdot 10^{-3}$

$v_\varphi = 1 \text{ ms}^{-1}$  comparable à  $U_0$

15/e) Hyp. faites jusqu'alas:

$R_0 \ll L$  : peut-être limité en fig 5c)

non visqueux : à moins que la viscosité change en fonction de la hauteur du jet, on ne voit pas le rôle que ça jouerait sur  $\lambda$

$K^2 \gg 1$  soit  $kr_0 \gg 1$  soit  $\lambda \ll R_0$  (7)  
la hauteur du filet d'eau n'a pas changé son rayon. donc cette hyp n'expliquerait pas.  
autres hyp?

15/f) Si atténuation, alors prendre en compte la viscosité.